



NetWorks Sp. z o.o.
Laboratorium Badań Środowiskowych
ul. Józefa Piłsudskiego 3
00-728 Warszawa
e-mail: Laboratorium@networks.pl



AB 419

S P R A W O Z D A N I E 5938/2024/OS
Z POMIARÓW PÓL ELEKTROMAGNETYCZNYCH
WYKONANYCH DLA POTRZEB OCHRONY ŚRODOWISKA

Badany obiekt: Instalacja radiokomunikacyjna T-Mobile Polska S.A.
Numer i nazwa: 30199 (40147N!) GGD_GDANSK_PORTPOLNOCNY
Adres: GDAŃSK, BUDOWNICZYCH PORTU PÓŁNOCNEGO DZ.63, Powiat m. Gdańsk, WOJ.
POMORSKIE

Data wykonania pomiarów: 2024-09-19

Sprawozdanie z badań bez pisemnej zgody laboratorium nie może być powielane inaczej niż w całości.
Wynik przedstawione w niniejszym sprawozdaniu odnoszą się wyłącznie do badanego obiektu i do warunków i konfiguracji urządzeń w dniu wykonywania pomiarów.

1. Właściciel badanego obiektu:

T-Mobile Polska S.A., ul. Marynarska 12, 02-674 Warszawa

2. Zleceniodawca:

T-Mobile Polska S.A., ul. Marynarska 12, 02-674 Warszawa

3. Przedstawiciel zleceniodawcy:

NetWorks Sp. z o.o.

4. Zakres zlecenia:

Wykonanie badania i opracowanie sprawozdania z pomiarów natężenia pola elektrycznego i pola magnetycznego dla instalacji radiokomunikacyjnej T-Mobile Polska S.A. zlokalizowanej w miejscowości GDAŃSK, BUDOWNICZYCH PORTU PÓŁNOCNEGO DZ.63.

5. Cel zlecenia:

Wykonanie pomiarów pól elektromagnetycznych w otoczeniu instalacji radiokomunikacyjnej 30199 (40147N!) GGD_GDANSK_PORTPOLNOCNY w odniesieniu do wymagań określonych w *Rozporządzeniu Ministra Klimatu z dnia 17 lutego 2020 r. w sprawie sposobów sprawdzania dotrzymania dopuszczalnych poziomów pól elektromagnetycznych w środowisku (Dz.U. 2022 poz. 2630)*.

6. Pomiary zostały wykonane przez:

Pacyński Wilkan
Przybyszewski Patryk

7. Informacje o źródłach pól elektromagnetycznych

7.1. Sposób identyfikacji badanych źródeł pól elektromagnetycznych

Identyfikacji źródeł i parametrów technicznych dokonano na podstawie analizy dokumentacji dotyczącej zlecenia oraz obserwacji miejsca wykonywania badań.

7.2. Opis miejsca zainstalowania anten i urządzeń technicznych. Opis obiektu badań i jego otoczenia

Instalacja radiokomunikacyjna zlokalizowana jest na terenie ogrodzonym. Anteny zawieszono na wieży kratowej. Urządzenia sterujące oraz zasilające zainstalowano w kontenerze u podstawy wieży. Wokół instalacji znajdują się tereny przemysłowe.

Instalacja radiokomunikacyjna jest obiektem bezobsługowym. Okresowe stanowiska pracy związane są z prowadzonymi w zależności od potrzeb konserwacjami, przeglądami, strojeniem i naprawami.

Sprawozdanie z badań bez pisemnej zgody laboratorium nie może być powielane inaczej niż w całości.
Wynik przedstawione w niniejszym sprawozdaniu odnoszą się wyłącznie do badanego obiektu i do warunków i konfiguracji urządzeń w dniu wykonywania pomiarów.

7.3. Parametry techniczne źródła pola elektromagnetycznego

Dane przedstawiające maksymalne parametry pracy instalacji przekazane przez zleceniodawcę:

Parametry systemu nadawczo-odbiorczego:

Charakterystyka promieniowania		kierunkowa					
Rzeczywisty czas pracy [h/dobę]		24					
Warunki pracy		znamionowe					
Rodzaj wytwarzanego pola		stacjonarne					
Lp.	Częstotliwość lub zakresy częstotliwości pracy [MHz]	Typ/producent anteny	liczba anten	Azymut [°]	kąt pochylecia [°]	Wysokość środka elektrycznego anteny [m n.p.t]	Równoważna moc promieniowana izotropowo (EIRP) [W]
1	3600	AQQQ NSN	1	115	0-12**	35.7	46348
2	900/1800/2100	ATR4518R6v06 Huawei	1	115	0-12**/0-12**/0-12**	39	17933
3	800/2600	ATR4518R6 Huawei	1	115	0-12**/0-12**	39	8971
4	3600	AQQQ NSN	1	220	0-12**	35.7	46348
5	900/1800/2100	ATR4518R6v06 Huawei	1	220	0-12**/0-12**/0-12**	39	17933
6	800/2600	ATR4518R13 Huawei	1	220	0-12**/0-12**	39	8676
7	3600	AQQQ NSN	1	340	0-12**	35.7	46348
8	900/1800/2100	ATR4518R6v06 Huawei	1	340	0-12**/0-12**/0-12**	39	16978
9	800/2600	ATR4518R13 Huawei	1	340	0-12**/0-12**	39	8676

* wskazane wartości kąta pochylecia anten, zgodnie z informacją uzyskaną od zleceniodawcy, są wartościami stałymi

** pomiary wykonano zgodnie z pkt 13., ppkt 2 załącznika do Rozporządzenia Ministra Klimatu z dnia 17 lutego 2020 r. (Dz. U. 2022, poz. 2630).

Parametry radiolinii:

Charakterystyka promieniowania		kierunkowa					
Rzeczywisty czas pracy [h/dobę]		24					
Warunki pracy		znamionowe					
Rodzaj wytwarzanego pola		stacjonarne					
Lp.	Linia radiowa			Antena			
	Typ/ Producent	Częstotliwość pracy [GHz]	Równoważna moc promieniowana izotropowo (EIRP) [W]	Typ/ producent	Średnica anteny [m]	Azymut (°)	Wysokość zainstalowania n.p.t [m]
1.	NEC iPasolink 100E Harris Stratex	38	4	VHLP1-38 Andrew	0.3	101	41
2.	Ericsson CN510 RAU2X Harris Stratex	38	13	ANT2_0.3 38 HP Ericsson	0.3	161	41.4
3.	Ericsson CN510 RAU2X Harris Stratex	38	7	ANT2_0.3 38 HP Ericsson	0.3	160	41.8
4.	ERICSSON CN510 6363 Harris Stratex	38	10	ANT3_0.3 38 HP/HPX Ericsson	0.3	170	42.2

Sprawozdanie z badań bez pisemnej zgody laboratorium nie może być powielane inaczej niż w całości.

Wynik przedstawione w niniejszym sprawozdaniu odnoszą się wyłącznie do badanego obiektu i do warunków i konfiguracji urządzeń w dniu wykonywania pomiarów.

Charakterystyka promieniowania			kierunkowa				
Rzeczywisty czas pracy [h/dobę]			24				
Warunki pracy			znamionowe				
Rodzaj wytwarzanego pola			stacjonarne				
Lp.	Linia radiowa			Antena			
	Typ/ Producent	Częstotliwość pracy [GHz]	Równoważna moc promieniowana izotropowo (EIRP) [W]	Typ/ producent	Średnica anteny [m]	Azymut (°)	Wysokość zainstalowania n.p.t [m]
5.	NP ERICSSON ML 6352/3 70/80GHz 500MHz Ericsson	80	14126	ANT2_0.6 80 HP/HPX Ericsson	0.6	173	41
6.	ERICSSON CN510 6363 Harris Stratex	38	159	ANT3_0.3 38 HP/HPX Ericsson	0.3	230	41.8
7.	NEC iPasilink EX Harris Stratex	80	15	VHLP1-80 Andrew	0.3	351	41

7.4 Inne źródła pól elektromagnetycznych

Na podstawie informacji otrzymanych od użytkownika oraz obserwacji otoczenia miejsca wykonywania pomiarów stwierdzono występowanie innych źródeł pola-EM, pracujących w systemie: telefonii komórkowej (800MHz-2600MHz), linii radiowych (5GHz – 90GHz), które istotnie wpływają na wyniki pomiarów.

8. Opis pomiarów

8.1. Metoda badań

Zgodna z rozporządzeniem Ministra Klimatu z dnia 17 lutego 2020 r. w sprawie sposobów sprawdzania dotrzymania dopuszczalnych poziomów pól elektromagnetycznych w środowisku (Dz.U. 2022 poz. 2630), określona w pkt 25 ppkt 1 załącznika do niniejszego rozporządzenia.

8.2. Termin pomiarów i warunki środowiskowe

Podczas wykonywania pomiarów pól elektromagnetycznych nie występowały opady atmosferyczne. Wyniki pomiaru parametrów pogodowych przedstawia poniższa tabela:

Data [rrrr-mm-dd]	Godzina [hh:mm-hh:mm]	Warunki środowiskowe			
		Temperatura [°C]		Wilgotność względna [%]	
2024-09-19	13:10-14:45	Przed pomiarem	Po pomiarach	Przed pomiarem	Po pomiarach
		21.3	21.7	67.9	67.1

Przedstawione wyżej warunki środowiskowe, występujące podczas wykonywania pomiarów pól elektromagnetycznych, są zgodne ze specyfikacją techniczną użytego zestawu pomiarowego.

8.3. Warunki pracy urządzeń nadawczych

Podczas pomiarów w przypadku uzyskania wyniku pomiaru szerokopasmowego wykonanego zastosowaną metodą, dla zakresów częstotliwości od 10 MHz do 300 GHz, powiększonego o rozszerzoną niepewność pomiaru U dla współczynnika rozszerzenia $k = 2$ przekraczającego 70% najniższej dopuszczalnej wartości składowej elektrycznej lub magnetycznej pola dla objętych pomiarami zakresów częstotliwości, uwzględnia się poprawki pomiarowe przekazane przez zleceniodawcę, umożliwiające uwzględnienie maksymalnych parametrów pracy instalacji zgodnie z pkt 7 załącznika do Rozporządzeniem Ministra Klimatu z dnia 17 lutego 2020 r. w sprawie sposobów sprawdzania dotrzymania dopuszczalnych poziomów pól elektromagnetycznych w środowisku (Dz. U. 2022, poz. 2630) zaznaczając, że wymagane jest wykonanie pomiaru z wykorzystaniem miernika selektywnego. W przypadku uzyskania wyniku pomiaru szerokopasmowego wykonanego zastosowaną metodą, dla zakresów częstotliwości od 10 MHz do 300 GHz, powiększonego o rozszerzoną niepewność pomiaru U dla współczynnika rozszerzenia $k = 2$ nieprzekraczającego 70% najniższej dopuszczalnej wartości składowej elektrycznej lub magnetycznej pola dla objętych pomiarami zakresów częstotliwości, nie uwzględnia się poprawek pomiarowych.

Sprawozdanie z badań bez pisemnej zgody laboratorium nie może być powielane inaczej niż w całości.

Wynik przedstawione w niniejszym sprawozdaniu odnoszą się wyłącznie do badanego obiektu i do warunków i konfiguracji urządzeń w dniu wykonywania pomiarów.

8.4. Wyposażenie pomiarowe

Zestaw pomiarowy służący do pomiaru natężenia składowej elektrycznej pola elektromagnetycznego złożony z szerokopasmowego miernika i sondy pomiarowej:

Oznaczenie miernika	Producent	Model	Numer fabryczny	Oznaczenie sondy	Producent	Model	Numer fabryczny
MW-08	Wavecontrol	Miernik pól elektromagnetycznych SMP2	22SN2090	SW-15	Wavecontrol	Sonda WPF60	22WP230221

Mierniki natężenia pola elektromagnetycznego podlegają okresowemu sprawdzeniu zgodnie z procedurą wewnętrzną P-03 i PB-01. Świadectwo wzorcowania zestawu pomiarowego z dnia 4 listopada 2022 o numerze LWiMP/W/333/22 wydane przez Politechnika Wrocławską.
 Data ważności świadectwa wzorcowania: 4 listopada 2024 (zgodnie z procedurą wewnętrzną P-03).

Oznaczenie miernika	Producent	Model	Numer fabryczny	Oznaczenie sondy	Producent	Model	Numer fabryczny
MW-08	Wavecontrol	Miernik pól elektromagnetycznych SMP2	22SN2090	SW-16	Wavecontrol	Sonda WPF3-HP	22WP030450

Mierniki natężenia pola elektromagnetycznego podlegają okresowemu sprawdzeniu zgodnie z procedurą wewnętrzną P-03 i PB-01. Świadectwo wzorcowania zestawu pomiarowego z dnia 4 listopada 2022 o numerze LWiMP/W/333/22 wydane przez Politechnika Wrocławską.
 Data ważności świadectwa wzorcowania: 4 listopada 2024 (zgodnie z procedurą wewnętrzną P-03).

Termohigrometr:

Oznaczenie:	TH-21	Producent:	AZ INSTRUMENT CORP	Model:	Termohigrometr AZ8706
-------------	-------	------------	--------------------	--------	-----------------------

Data ważności świadectwa wzorcowania: 2 stycznia 2026 (zgodnie z procedurą wewnętrzną P-03).

Dalmierz:

Oznaczenie	Producent	Typ	Numer seryjny	Nr świadectwa wzorcowania	Data świadectwa wzorcowania
D-09	Leica	Dalmierz Leica Disto D510	1042956700	4609.10-M11-4180-1748/14	9 stycznia 2015

Data ważności świadectwa wzorcowania: 9 stycznia 2025 (zgodnie z procedurą wewnętrzną P-03).

Odbiornik GNSS:

Odbiornik GNSS wbudowany w miernik natężenia pola elektromagnetycznego użyty podczas pomiarów	Producent	Model
	UBlox	MAX-M8Q

Odbiorniki podlegają okresowemu sprawdzeniu zgodnie z procedurą wewnętrzną P-03.

9. Wyniki pomiarów

Pole elektryczne

Nr pionu	Opis umiejscowienia pionu (punktu) pomiarowego	Wysokość pomiaru [m]	Zmierzona wartość natężenia pola elektrycznego E [V/m] ^{1,5}			Wartość natężenia pola elektrycznego powiększona o niepewność pomiaru ⁴ E [V/m]	Wskaźnikowa wartość poziomu emisji pól elektromagnetycznych WME ³	Współrzędne geograficzne pionu (punktu) pomiarowego ²
			Sonda SW-15	Sonda SW-16	SUMA			
1	GKP w odległości 4m od anteny sektorowej az. 340° oraz anteny radioliniowej az. 351°	0.3-2.0	<1.0*	<1.0*	<1.0*	1.3	0.05	54°23'22.2" 18°41'34.8"
2	GKP w odległości 42m od anteny sektorowej az. 340°	2.0	1.2	1.2	1.2	1.6	0.06	54°23'23.6" 18°41'34.1"
3	PKP na az. 333° w odległości 45m od anteny	2.0	1.3	1.3	1.3	1.7	0.06	54°23'23.6" 18°41'33.7"

Sprawozdanie z badań bez pisemnej zgody laboratorium nie może być powielane inaczej niż w całości.
 Wynik przedstawione w niniejszym sprawozdaniu odnoszą się wyłącznie do badanego obiektu i do warunków i konfiguracji urządzeń w dniu wykonywania pomiarów.

	sektorowej az. 340°							
4	PKP na az. 320° w odległości 46m od anteny sektorowej az. 340°	2.0	1.4	1.4	1.4	1.8	0.06	54°23'23.3" 18°41'33.4"
5	PKP na az. 305° w odległości 45m od anteny sektorowej az. 340°	2.0	1.5	1.5	1.5	1.9	0.07	54°23'22.9" 18°41'33.0"
6	PKP na az. 347° w odległości 70m od anteny sektorowej az. 340°	2.0	1.4	1.4	1.4	1.8	0.06	54°23'24.4" 18°41'34.1"
7	GKP w odległości 85m od anteny sektorowej az. 340°	2.0	1.6	1.6	1.6	2.1	0.07	54°23'24.7" 18°41'33.4"
8	GKP w odległości 8m od anteny sektorowej az. 220°	2.0	1.2	1.2	1.2	1.6	0.06	54°23'22.2" 18°41'34.4"
9	PKP na az. 255° w odległości 42m od anteny sektorowej az. 220°	2.0	1.3	1.3	1.3	1.7	0.06	54°23'21.8" 18°41'32.6"
10	PKP na az. 241° w odległości 44m od anteny sektorowej az. 220°	2.0	1.2	1.2	1.2	1.6	0.06	54°23'21.5" 18°41'32.6"
11	GKP w odległości 43m od anteny radioliniowej az. 230°	2.0	1.1	1.1	1.1	1.4	0.05	54°23'21.5" 18°41'33.0"
12	GKP w odległości 42m od anteny sektorowej az. 220°	2.0	1.3	1.3	1.3	1.7	0.06	54°23'21.1" 18°41'33.4"
13	PKP na az. 200° w odległości 43m od anteny sektorowej az. 220°	2.0	1.2	1.2	1.2	1.6	0.06	54°23'20.8" 18°41'34.1"
14	PKP na az. 185° w odległości 54m od anteny sektorowej az. 220°	2.0	1.4	1.4	1.4	1.8	0.06	54°23'20.4" 18°41'34.4"
15	GKP w odległości 85m od anteny sektorowej az. 220°	0.3-2.0	<1.0*	<1.0*	<1.0*	1.3	0.05	54°23'20.0" 18°41'31.9"
16	GKP w odległości 39m od anteny radioliniowej az. 170° oraz od anteny radioliniowej az. 173°	2.0	1.2	1.2	1.2	1.6	0.06	54°23'20.8" 18°41'35.5"
17	PKP na az. 150° w odległości 32m od anteny sektorowej az. 115°	2.0	1.5	1.5	1.5	1.9	0.07	54°23'21.1" 18°41'35.9"
18	GKP w odległości 40m od anteny radioliniowej az. 161° oraz od anteny radioliniowej az. 160°	2.0	1.4	1.4	1.4	1.8	0.06	54°23'21.1" 18°41'35.9"

Sprawozdanie z badań bez pisemnej zgody laboratorium nie może być powielane inaczej niż w całości.
 Wynik przedstawione w niniejszym sprawozdaniu odnoszą się wyłącznie do badanego obiektu i do warunków i konfiguracji urządzeń w dniu wykonywania pomiarów.

19	PKP na az. 135° w odległości 52m od anteny sektorowej az. 115°	2.0	1.8	1.8	1.8	2.3	0.08	54°23'21.1" 18°41'37.0"
20	GKP w odległości 11m od anteny sektorowej az. 115° oraz anteny radioliniowej az. 101°	2.0	1.1	1.1	1.1	1.4	0.05	54°23'22.2" 18°41'35.5"
-	GKP w odległości 184m od anteny sektorowej az. 115°	2.0	1.2	1.2	1.2	1.6	0.06	54°23'19.7" 18°41'44.2"
-	GKP w odległości 316m od anteny sektorowej az. 115°	2.0	2.7	2.7	2.7	3.5	0.13	54°23'17.9" 18°41'51.0"
-	GKP w odległości 248m od anteny sektorowej az. 220°	2.0	2.5	2.5	2.5	3.2	0.12	54°23'16.1" 18°41'26.2"
-	GKP w odległości 247m od anteny sektorowej az. 340°	2.0	1.8	1.8	1.8	2.3	0.08	54°23'29.8" 18°41'30.5"

Pole magnetyczne (wyznaczone na podstawie pomiaru wartości natężenia pola elektrycznego)

Nr pionu	Opis umiejscowienia pionu (punktu) pomiarowego	Wysokość pomiaru [m]	Wartość natężenia pola magnetycznego H [A/m] ¹			Wartość natężenia pola magnetycznego powiększona o niepewność pomiaru ⁴ H [A/m]	Wskaźnikowa wartość poziomu emisji pól elektromagnetycznych WM _H ³	Współrzędne geograficzne pionu (punktu) pomiarowego ²
			Sonda SW-15	Sonda SW-16	SUMA			
1	GKP w odległości 4m od anteny sektorowej az. 340° oraz anteny radioliniowej az. 351°	0.3-2.0	<0.003*	<0.003*	<0.003*	0.003	0.05	54°23'22.2" 18°41'34.8"
2	GKP w odległości 42m od anteny sektorowej az. 340°	2.0	0.003	0.003	0.003	0.004	0.06	54°23'23.6" 18°41'34.1"
3	PKP na az. 333° w odległości 45m od anteny sektorowej az. 340°	2.0	0.003	0.003	0.003	0.004	0.06	54°23'23.6" 18°41'33.7"
4	PKP na az. 320° w odległości 46m od anteny sektorowej az. 340°	2.0	0.004	0.004	0.004	0.005	0.07	54°23'23.3" 18°41'33.4"
5	PKP na az. 305° w odległości 45m od anteny sektorowej az. 340°	2.0	0.004	0.004	0.004	0.005	0.07	54°23'22.9" 18°41'33.0"
6	PKP na az. 347° w odległości 70m od anteny sektorowej az. 340°	2.0	0.004	0.004	0.004	0.005	0.07	54°23'24.4" 18°41'34.1"

Sprawozdanie z badań bez pisemnej zgody laboratorium nie może być powielane inaczej niż w całości.
 Wynik przedstawione w niniejszym sprawozdaniu odnoszą się wyłącznie do badanego obiektu i do warunków i konfiguracji urządzeń w dniu wykonywania pomiarów.

7	GKP w odległości 85m od anteny sektorowej az. 340°	2.0	0.004	0.004	0.004	0.006	0.08	54°23'24.7" 18°41'33.4"
8	GKP w odległości 8m od anteny sektorowej az. 220°	2.0	0.003	0.003	0.003	0.004	0.06	54°23'22.2" 18°41'34.4"
9	PKP na az. 255° w odległości 42m od anteny sektorowej az. 220°	2.0	0.003	0.003	0.003	0.004	0.06	54°23'21.8" 18°41'32.6"
10	PKP na az. 241° w odległości 44m od anteny sektorowej az. 220°	2.0	0.003	0.003	0.003	0.004	0.06	54°23'21.5" 18°41'32.6"
11	GKP w odległości 43m od anteny radioliniowej az. 230°	2.0	0.003	0.003	0.003	0.004	0.05	54°23'21.5" 18°41'33.0"
12	GKP w odległości 42m od anteny sektorowej az. 220°	2.0	0.003	0.003	0.003	0.004	0.06	54°23'21.1" 18°41'33.4"
13	PKP na az. 200° w odległości 43m od anteny sektorowej az. 220°	2.0	0.003	0.003	0.003	0.004	0.06	54°23'20.8" 18°41'34.1"
14	PKP na az. 185° w odległości 54m od anteny sektorowej az. 220°	2.0	0.004	0.004	0.004	0.005	0.07	54°23'20.4" 18°41'34.4"
15	GKP w odległości 85m od anteny sektorowej az. 220°	0.3-2.0	<0.003*	<0.003*	<0.003*	0.003	0.05	54°23'20.0" 18°41'31.9"
16	GKP w odległości 39m od anteny radioliniowej az. 170° oraz od anteny radioliniowej az. 173°	2.0	0.003	0.003	0.003	0.004	0.06	54°23'20.8" 18°41'35.5"
17	PKP na az. 150° w odległości 32m od anteny sektorowej az. 115°	2.0	0.004	0.004	0.004	0.005	0.07	54°23'21.1" 18°41'35.9"
18	GKP w odległości 40m od anteny radioliniowej az. 161° oraz od anteny radioliniowej az. 160°	2.0	0.004	0.004	0.004	0.005	0.07	54°23'21.1" 18°41'35.9"
19	PKP na az. 135° w odległości 52m od anteny sektorowej az. 115°	2.0	0.005	0.005	0.005	0.006	0.08	54°23'21.1" 18°41'37.0"

Sprawozdanie z badań bez pisemnej zgody laboratorium nie może być powielane inaczej niż w całości.
 Wynik przedstawione w niniejszym sprawozdaniu odnoszą się wyłącznie do badanego obiektu i do warunków i konfiguracji urządzeń w dniu wykonywania pomiarów.

20	GKP w odległości 11m od anteny sektorowej az. 115° oraz anteny radioliniowej az. 101°	2.0	0.003	0.003	0.003	0.004	0.05	54°23'22.2" 18°41'35.5"
-	GKP w odległości 184m od anteny sektorowej az. 115°	2.0	0.003	0.003	0.003	0.004	0.06	54°23'19.7" 18°41'44.2"
-	GKP w odległości 316m od anteny sektorowej az. 115°	2.0	0.007	0.007	0.007	0.009	0.13	54°23'17.9" 18°41'51.0"
-	GKP w odległości 248m od anteny sektorowej az. 220°	2.0	0.007	0.007	0.007	0.009	0.12	54°23'16.1" 18°41'26.2"
-	GKP w odległości 247m od anteny sektorowej az. 340°	2.0	0.005	0.005	0.005	0.006	0.08	54°23'29.8" 18°41'30.5"

GKP – Główny Kierunek Pomiarowy

PKP – Pomocniczy Kierunek Pomiarowy

¹ wyniki oznaczone * są wynikami poniżej czułości zestawu pomiarowego i są wynikami spoza zakresu akredytacji. Do obliczenia wyniku skorygowanego przyjęto wartość skorelowaną z rzeczywistym wynikiem pomiaru - dolną granicę akredytowanego zakresu pomiarowego metody

² współrzędne geograficzne pozyskane metodą pomiaru bezpośredniego

³ do wyznaczenia wartości wskaźnikowej W_{ME} i W_{MH} przyjęto na podstawie uzgodnień z klientem oraz rozpoznania źródeł, jako wartości dopuszczalne pola elektrycznego i magnetycznego odpowiednio 28 V/m i 0,073 A/m.

⁴ do wyznaczenia niepewności dla wyników poniżej czułości zestawu pomiarowego, przyjęto niepewność dla minimalnej wartości z zakresu pomiarowego.

⁵ maksymalna wartość chwilowa

Niepewność oszacowano zgodnie z dokumentem P-03 „Procedura nadzoru nad wyposażeniem” w postaci niepewności rozszerzonej wynikającej z niepewności standardowej pomnożonej przez współczynnik rozszerzenia $k=2$.

Całkowita szacowana niepewność rozszerzona składowej E wynosi odpowiednio:

sonda SW-15: 29.8% dla częstotliwości do 4 GHz, sonda SW-16: 32.8% dla częstotliwości do 4 GHz

Umieszczenie pionów (punktów) pomiarowych przedstawiono w załączniku nr 2 do niniejszego sprawozdania.

10. Omówienie wyników pomiarów

W związku z tym, że żadna z wartości zmierzonych, udokumentowanych w tabelach w pkt. 9, uzyskanych w skutek zastosowania pomiaru szerokopasmowego, powiększonego o rozszerzoną niepewność pomiaru U dla współczynnika rozszerzenia $k = 2$ nie przekroczyła 70% najniższej dopuszczalnej wartości składowej elektrycznej lub magnetycznej pola dla objętych pomiarami zakresów częstotliwości, nie uwzględnia się poprawek pomiarowych.

W wyniku zastosowania sposobu sprawdzenia dotrzymania dopuszczalnych poziomów pól elektromagnetycznych w środowisku, zgodnie pkt 25 ppkt 1 Rozporządzenia Ministra Klimatu z dnia 17 lutego 2020 r. (Dz. U. 2022, poz. 2630), w związku z tym, że żadna z wartości wskaźnikowych, udokumentowanych w tabelach w pkt. 9 nie przekracza wartości 1, stwierdza się, że w miejscach, w których wykonano pomiary w otoczeniu instalacji radiokomunikacyjnej 30199 (40147N!) GGD_GDANSK_PORTPOLNOCNY, dopuszczalne poziomy pól elektromagnetycznych w środowisku należy uznać za dotrzymane.

Sprawozdanie z badań bez pisemnej zgody laboratorium nie może być powielane inaczej niż w całości.

Wynik przedstawione w niniejszym sprawozdaniu odnoszą się wyłącznie do badanego obiektu i do warunków i konfiguracji urządzeń w dniu wykonywania pomiarów.

Miejsca niedostępne podczas wykonywania pomiarów wskazane zostały w pkt. 9 (Wyniki pomiarów) lub na załączniku przedstawiającym usytuowanie pionów pomiarowych.

11. Podstawa prawna

- 1) Ustawa z dnia 27 kwietnia 2001 r. Prawo ochrony środowiska (Dz.U. 2024 poz. 54)
- 2) Rozporządzenie Ministra Zdrowia z dnia 17 grudnia 2019 r. w sprawie dopuszczalnych poziomów pól elektromagnetycznych w środowisku (Dz. U. 2019, poz. 2448)
- 3) Rozporządzenie Ministra Klimatu z dnia 17 lutego 2020 r. w sprawie sposobów sprawdzania dotrzymania dopuszczalnych poziomów pól elektromagnetycznych w środowisku (Dz. U. 2022, poz. 2630),
- 4) Akredytacja nr AB 419 wydana przez Polskie Centrum Akredytacji (wydanie 22, z dnia 9 stycznia 2024 r.)

12. Spis załączników

- Załącznik 1. Lokalizacja obiektu badań
- Załącznik 2. Usytuowanie pionów (punktów) pomiarowych
- Załącznik 3. Dokumentacja fotograficzna obiektu badań

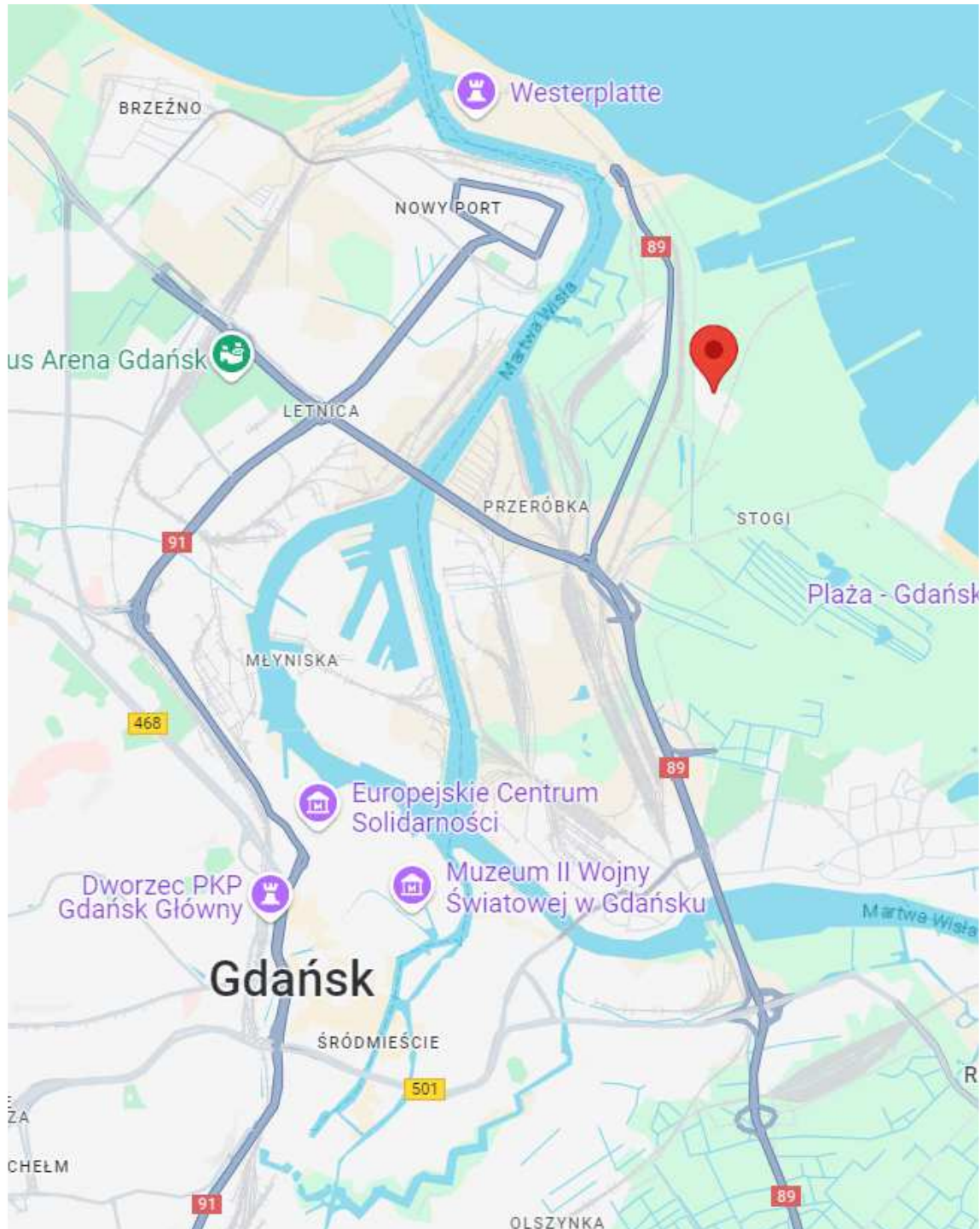
13. Data wydania i autoryzowania sprawozdania

Obliczenia i sprawozdanie wykonał :

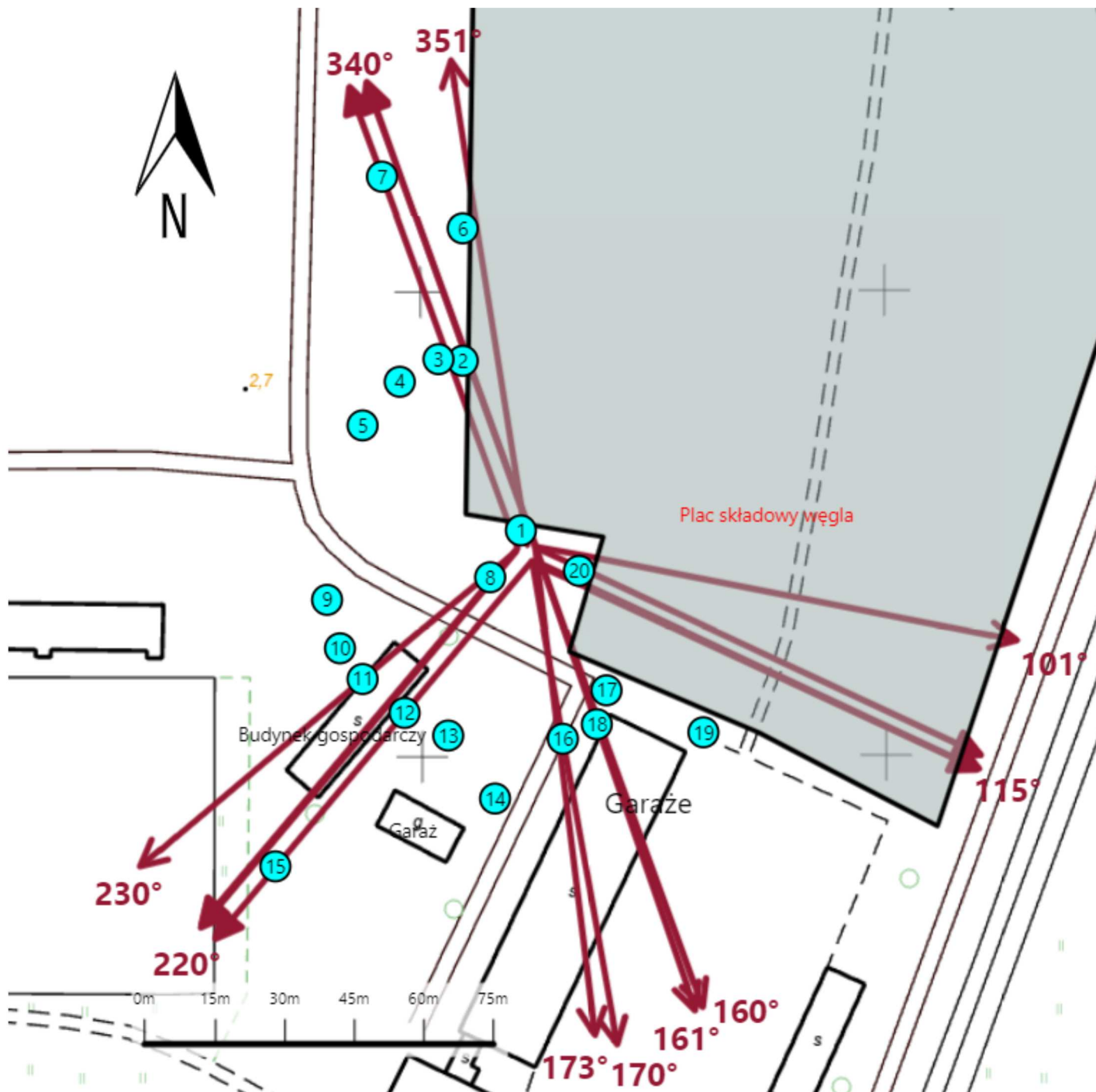
Sprawozdanie autoryzował:

Koniec sprawozdania

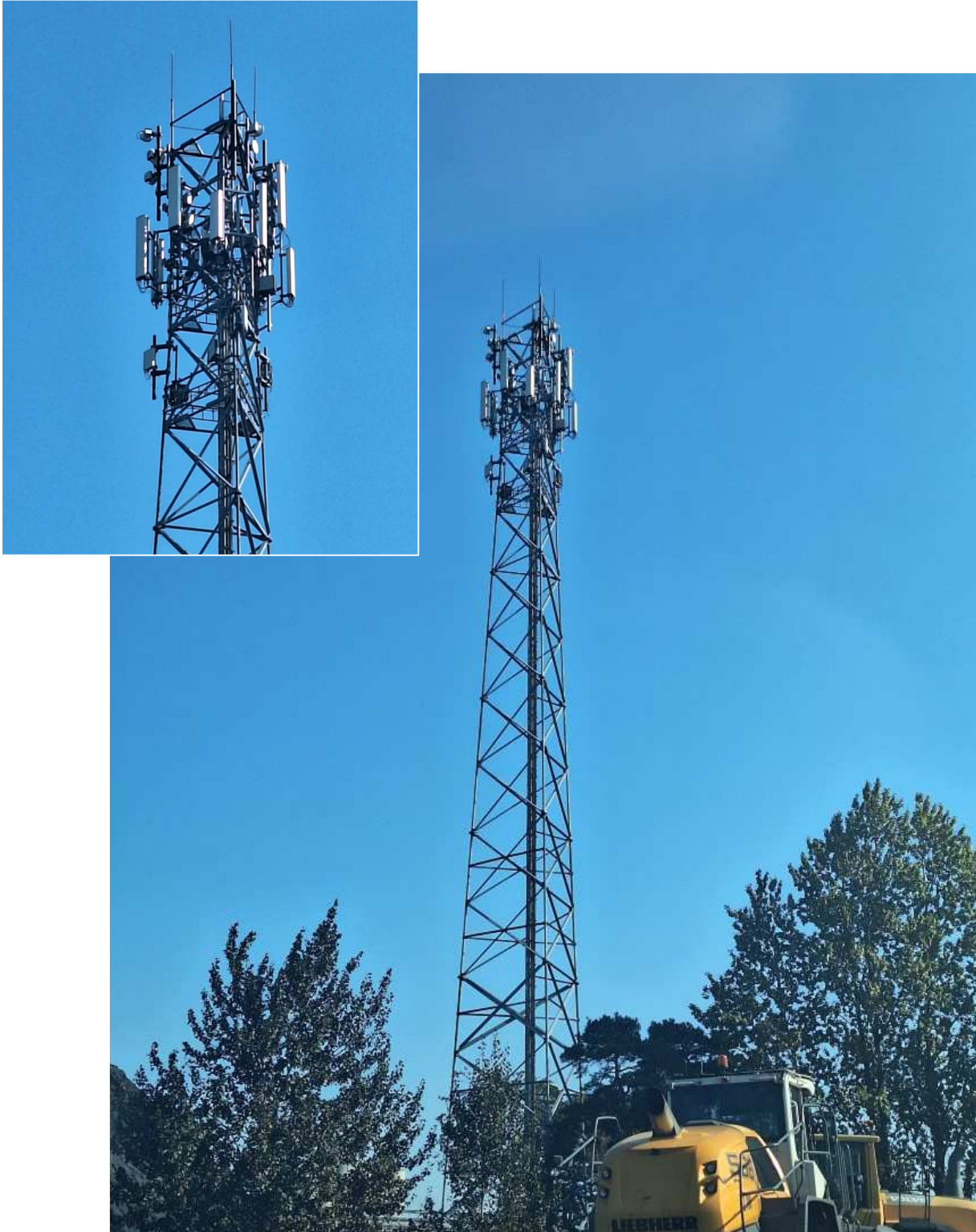
Sprawozdanie z badań bez pisemnej zgody laboratorium nie może być powielane inaczej niż w całości.
Wynik przedstawione w niniejszym sprawozdaniu odnoszą się wyłącznie do badanego obiektu i do warunków i konfiguracji urządzeń w dniu wykonywania pomiarów.



Załącznik nr 1	Instalacja radiokomunikacyjna T-Mobile Polska S.A. 30199 (40147N!) GGD_GDANSK_PORTPOLNOCNY Lokalizacja instalacji
----------------	---



Załącznik nr 2	<p style="text-align: center;">Instalacja radiokomunikacyjna T-Mobile Polska S.A. GGD_GDANSK_PORTPOLNOCNY (40147N!)</p> <p style="text-align: center;">Usytuowanie pionów pomiarowych w otoczeniu instalacji radiokomunikacyjnej</p>
Legenda:	<p style="text-align: center;"> Brak dostępu Pion pomiarowy Kierunek oddziaływania anten sektorowych Kierunek oddziaływania anten radioliniowych </p>



Załącznik nr 3	<p>Instalacja radiokomunikacyjna T-Mobile Polska S.A. 30199 (40147N!) GGD_GDANSK_PORTPOLNOCNY</p> <p>Dokumentacja fotograficzna</p>
----------------	---